Institut royal des Sciences naturelles de Belgique

BULLETIN

Tome XXXIV, n° 3
Bruxelles, janvier 1958.

Koninklijk Belgisch Instituut voor Natuurwetenschappen

MEDEDELINGEN

Deel XXXIV, nr 3
Brussel, januari 1958.

QUELQUES ESPECES NOUVELLES OU PEU COMMUNES DE L'ILE MAURICE,

par Henri SYNAVE (Bruxelles).

La présente étude est basée sur une petite collection de *Fulgoroidea* que m'a aimablement communiquée M. R. MAMET, de Rose Hill (Ile Maurice).

Cette collection, quoique peu importante au point de vue du nombre de spécimens, s'est cependant révélée fort intéressante. En effet, sur une cinquantaine d'exemplaires, 6 espèces nouvelles pour la Science ont pu être décrites.

Certaines espèces décrites ci-dessous, figuraient comme présumées nouvelles dans la liste des Hémiptères de l'Ile Maurice, publiée récemment par R. MAMET (1). C'est le cas notamment pour les *Ricaniidae* du genre *Tarundia*.

Sauf mention contraire, les types des espèces nouvelles sont déposés dans la collection R. MAMET, tandis que les paratypes sont partagés entre cette même collection et celle de l'Institut royal des Sciences naturelles de Belgique.

Famille *CIXIIDAE*.

I. Genre Achaemenes STÅL.

STÅL, C., 1866, Hem. Afric., 4, p. 170.

(1) *A revised and annotated list of the Hemiptera (Heteroptera and Homoptera, excluding Sternorhyncha) of Mauritius.* The Mauritius Institute Bulletin, vol. V, part 2, 1957, pp. 31 à 81.

Achaemenes quinquespinosus Synave.

Synave, H., Les *Cixiidae* de la Réunion (sous presse).

5 ex. : Mauritius, Le Poua, 15-XI-1943, R. Hermelin; ibidem, R. Mamet.

II. Genre Brixia Stål.

Stål, C., 1856, Öfv. K. Vet. Akad. Förh., p. 162.

1. Brixia stellata Distant.

Distant, W. L., 1914, Trans. Linn. Soc. Lond., XVII, p. 284, pl. 49, fig. 17.

Cette espèce, décrite des Seychelles, a été capturée à la Réunion et à Madagascar.

4 ex. : Mauritius, Vacoas (at light), 4-I-1955, J. R. Williams; III-1954.

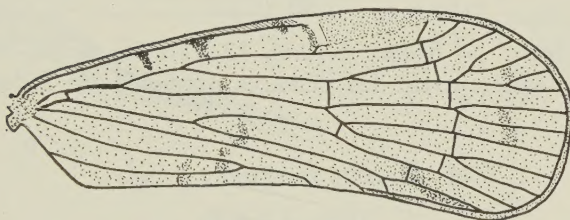
2. Brixia williamsi n. sp.
(Fig. 1.)

Front long et étroit; bords latéraux fortement relevés et carénés, se soudant vers la base; noir, à bords latéraux jaunes (arêtes brun foncé). Ocelle apical rougeâtre, très net. Clypéus noir, avec forte carène médiane. Joues et tempes noires, sauf une étroite bordure le long du bord externe, et une plage longitudinale sous les antennes, qui sont ocre. Vertex noir, très étroit, à peine plus large à la base qu'à l'apex, à bords latéraux fortement relevés et carénés, prolongeant ceux du front et soudés sur la partie antérieure. Pronotum court, à bord postérieur très profondément échancré; ocre, sauf la partie médiane, comprise entre les carènes latérales, qui est noire; carène médiane assez forte, orange; une carène sur les épaules, réunissant les latérales au bord postérieur. Scutellum environ deux fois aussi long que vertex et pronotum réunis, déprimé vers l'arrière, avec trois carènes dont les latérales sont divergentes vers l'arrière. Ocre-brun; partie médiane comprise entre les carènes latérales, noire. Tegulae ocre. Elytres environ trois fois aussi longs que larges, légèrement élargis vers l'apex; bifurcation $Sc + R$ très légèrement avant celle de *Cu*, vers le tiers basal de l'élytre; nervures clavales réunies vers le milieu du clavus. Hyalins, de coloration générale ocre, avec des marques brun foncé et jaunâtres, formant un dessin particulier sur la partie apicale (voir fig. 1). Notamment, une tache triangulaire, jaune, sur l'apex des nervures longitudinales et une seconde, noire, la soulignant; nervures longitudinales brunes, devenant ocre à partir de la série apicale de transversales; deux ou trois stries transversales brun-noir sur la partie apicale, de même que

deux taches dans l'angle sutural, dont une grosse, ronde, et une très petite; stigma noirâtre, extérieurement bordé de jaunâtre; deux ou trois taches brun foncé dans la cellule costale et une strie oblique, transversale, depuis la bifurcation Cl_1Cl_2 jusqu'aux branches de *Cu*. Pattes ocre; tibias postérieurs non armés; base des deux premiers articles et troisième article des tarses postérieurs, de même que les épines, brun foncé.



1



2

Fig. 1. — *Brixia williamsi* n. sp. : élytre gauche, env. × 12;
Fig. 2. — *Brixia vacoasensis* n. sp. : élytre droit, env. × 12.

Longueur totale : env. 6,5 mm.

T y p e. — 1 ♀, Mauritius, Vacoas, IV-1956 (at light) (Collect. R. MAMET).

4 p a r a t y p e s. — Macabé, III-1952, R. MAMET; Petrin, III-1952, R. MAMET (Collect. R. MAMET et Inst. royal des Sciences naturelles de Belgique).

3. Brixia vacoasensis n. sp.

(Fig. 2.)

Front à peu près une fois et demie aussi long que large, à bords latéraux carénés, mais légèrement relevés, de sorte que le disque ne paraît pas creusé comme c'est le cas pour la majorité des espèces; les bords

latéraux se relèvent cependant fortement sur la partie antérieure, peu avant de se souder. Ocre; arête des bords latéraux, brune. Ocelle apical bordé de rouge. Clypéus fortement caréné. Joues et tempes, ocre. Vertex environ deux fois aussi long que large, à bords latéraux fortement relevés et carénés, subparallèles, puis progressivement convergents vers l'avant où ils se soudent : ocre, sauf l'arête des bords latéraux qui est brune. Pronotum et scutellum tricarénés; le premier jaunâtre, le second brun, avec des taches foncées dans l'angle postérieur, de part et d'autre de la carène médiane. Elytres hyalins, blanchâtres, à nervures concolores, ponctuées de brun foncé; quelques marques brunes réparties comme suit : quelques taches formant une ligne transversale irrégulière au niveau de la bifurcation Cl_1 Cl_2, joignant le bord sutural au bord costal, en passant un peu au-dessous de la bifurcation $Sc + R$; quelques taches apicales; nervures transversales et stigma, bruns. Bifurcation $Sc + R$ vers le tiers basal de l'élytre, légèrement avant celle de *Cu* qui précède nettement celle de Cl_1Cl_2. Pattes ocre; tibias postérieurs non armés.

Longueur totale : env. 6,5 mm.

T y p e. — 1 ♀, Mauritius, Vacoas, 13-III-1955, J. R. WILLIAMS (at light) (Collect. R. MAMET).

5 p a r a t y p e s. — Même localité, 13-III-1955 et III-1954 (Collect. R. MAMET et Institut royal des Sciences naturelles de Belgique).

4. Brixia wagneri n. sp.

(Fig. 3 à 6.)

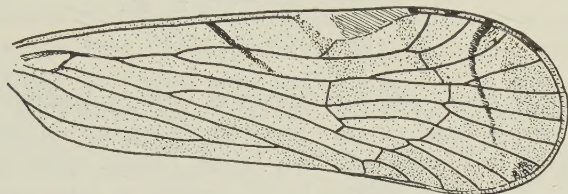
Front allongé, à bords latéraux relevés et carénés; se soudant vers la base au niveau des ocelles latéraux; près de deux fois aussi long que large (longueur depuis la jonction des bords latéraux jusqu'à la suture clypéale : 35/largeur maxima : 20). Ocelle apical très net, jaunâtre. Clypéus fortement caréné. Coloration générale blanc verdâtre à vert pâle. Ocelles pairs, rougeâtres. Deux stries brunes sur chaque tempe. Vertex un peu plus long que large (15 : 13), à bords latéraux fortement relevés et carénés, se soudant vers l'avant et prolongeant ceux du front. Pronotum court, à base très profondément échancré; carènes latérales divergentes depuis la partie antérieure de la médiane, puis contournant le bord postérieur des yeux; une carène sur les épaules, entre les latérales et le bord postérieur. Tegulae non carénées. Scutellum tricaréné; carènes latérales divergentes vers l'arrière, médiane écourtée.

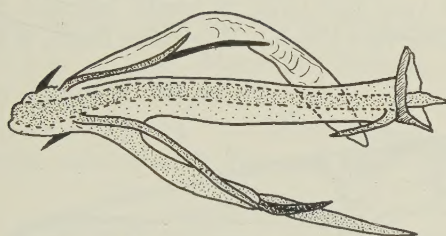
Elytres hyalins, verdâtres, avec quelques légers nuages brunâtres sur l'apex et sur le clavus, ainsi que quelques marques brunes réparties comme suit : une fine strie oblique vers le milieu de la cellule costale, s'effaçant progressivement vers *R*; la série apicale de nervures transversales (plus ou moins complètement); une strie transversale, légèrement arquée, dans l'angle apical et enfin, une tache plus ou moins ronde sur la 8me cellule apicale. Bifurcation $Sc + R$ un peu avant celle de *Cu* et plus nettement avant Cl_1 Cl_2.

Pattes blanc verdâtre; tibias postérieurs non armés.

Genitalia ♂, voir fig. 4 à 6. Longueur totale : env. 7,5 mm.

Type. — 1 ♂, Mauritius, Vacoas, 1956, J. R. WILLIAMS (Collect. R. MAMET).







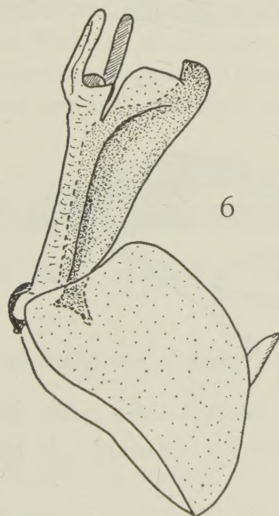


Fig. 3. — *Brixia wagneri* n. sp. : élytre droit, env. × 12;
Fig. 4. — *idem* : édéage, vue latéro-ventrale droite, env. × 60;
Fig. 5. — *idem* : paramère droit, vue latérale, env. × 60;
Fig. 6. — *idem* : tube anal et pygophore, vue latérale, env. × 60.

2 Paratypes. — Mauritius, Vacoas, III-1954, J. R. WILLIAMS (at light). (Collect. R. MAMET et Institut royal des Sciences naturelles de Belgique.)

Je dédie cette espèce à mon très honoré collègue, le Dr. W. WAGNER, de Hambourg.

5. Brixia mameti n. sp.
(Fig. 7 à 10.)

Front allongé, à bords latéraux relevés et carénés, légèrement convexes, se rejoignant vers la base; environ une fois et demie aussi long que large; ocre jaune, l'arête des bords latéraux, brune. Ocelle apical jaunâtre. Clypéus fortement caréné au milieu. Joues, tempes et antennes, ocre-jaune; deux stries brunes sur chaque tempe. Ocelles pairs, rougeâtres. Vertex environ une fois et demie aussi long que large, à bords latéraux fortement relevés et carénés, se soudant vers l'avant. Pronotum court, à bords

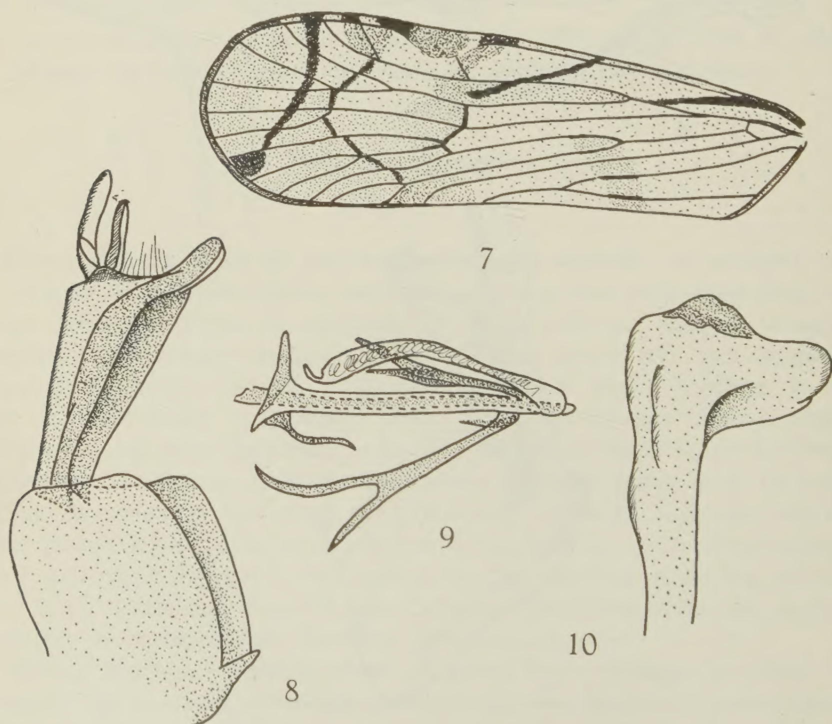


Fig. 7. — *Brixia mameti* n. sp. : élytre gauche, env. × 13;
Fig. 8. — *idem* : tube anal et pygophore, vue latérale, env. × 50;
Fig. 9. — *idem* : édéage, vue latéro-ventrale gauche, env. × 50;
Fig. 10. — *idem* : paramère droit, vue latérale, env. × 50.

postérieur très profondément échancré; ocre foncé, sauf les plaques pectorales qui sont jaunâtres; une carène transversale sur les épaules entre les latérales et le bord postérieur. Scutellum ocre brun, avec trois carènes, dont la médiane est écourtée vers l'arrière et les latérales divergentes. Elytres hyalins, blanchâtres, avec marques brunes et brun foncé réparties suivant la figure 7. Notamment, 5 stries obliques, transversales, partant du bord costal, dont une à la base, la seconde un peu avant le milieu, la troisième et la quatrième respectivement avant et après le stigma, enfin la cinquième dans l'angle apical (sur le paratype, les stries situées de part et d'autre du stigma sont moins nettes, plus pâles); une bande transversale, brun pâle, sur le clavus, avant la bifurcation Cl_1 Cl_2, se prolongeant jusqu'aux branches de *Cu*. Bifurcation $Sc + R$ légèrement avant celle de *Cu*, nettement avant Cl_1 Cl_2, à peu près au tiers basal. Pattes jaune verdâtre pâle; base du premier article des tarses postérieurs, brun. Tibias postérieurs non armés.

Genitalia ♂, voir fig. 8 à 10. Longueur totale : env. 8 mm.

Type. — 1 ♂, Mauritius, Vacoas, 3-VI-1954, J. R. WILLIAMS (at light) (Coll. R. MAMET).

1 paratype ♀. — Même localité, 12-III-1954. (Institut royal des Sciences naturelles de Belgique.)

Famille *KINNARIDAE*.

Dans un travail actuellement sous presse, j'ai signalé cette famille nouvelle pour les îles de la Réunion et Maurice. Dans le matériel provenant de l'île Maurice, se trouvaient deux exemplaires qui ont été reconnus comme paratypes d'une espèce nouvelle décrite dans le travail précédemment cité.

Genre Paramicrixia DISTANT.

DISTANT, W. L., 1911, Ann. Mag. Nat. Hist. (8), vol. 8, p. 742.

Paramicrixia insularis SYNAVE.

SYNAVE, H., 195 , Bull. Ann. Soc. Entom. Belg., (sous presse).

2 ex. (paratypes) : I. Maurice, Trois Mamelles, 13-VII-1954, J. R. WILLIAMS.

Famille *ACHILIDAE*.

Genre Aphypia MÉLICHAR.

MÉLICHAR, L., 1908, Čas. Česke Spol. Ent., 5, p. 6.

Aphypia sp.

1 exemplaire (Petrin, 6-I-1950, R. MAMET), appartenant vraisemblablement à une espèce nouvelle.

Famille *RICANIIDAE*.

I. Genre Tarundia STÅL.

STÅL, C., 1859, Berl. Ent. Zeitschr., III, p. 325.

1. Tarundia marginata MÉLICHAR.
(Fig. 11 à 13.)

MÉLICHAR, L., 1898, Ann. K. K. Naturh. Hofmus., Bd. XIII, p. 268, pl. XII, fig. 3.

Deux exemplaires avec étiquette de localité ne portant que « Mauritius » — Genitalia ♂, voir fig. 11 à 13.

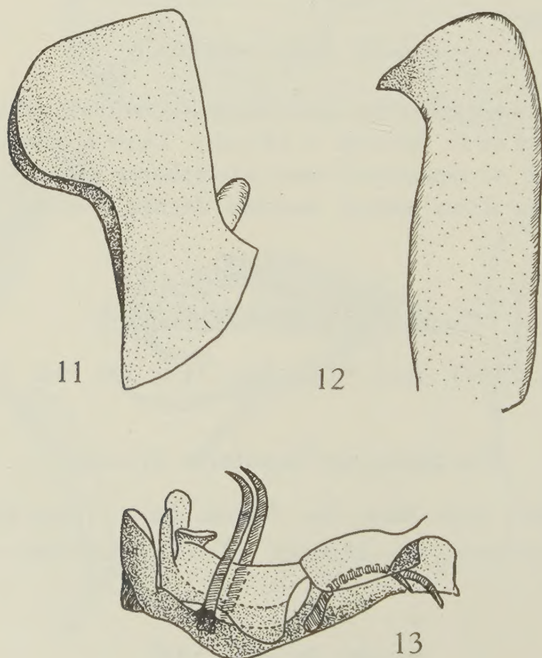


Fig. 11. — *Tarundia marginata* MÉLICHAR : tube anal, vue latérale, env. × 50;
Fig. 12. — *idem* : paramère gauche, vue latérale, env. × 50;
Fig. 13. — *idem* : édéage, vue latéro-ventrale droite, env. × 50.

2. Tarundia servillei Spinola.

(Fig. 14 à 17.)

Spinola, M., 1839, Ann. Soc. Ent. Fr., VIII, p. 404, 9 *Ricania.*

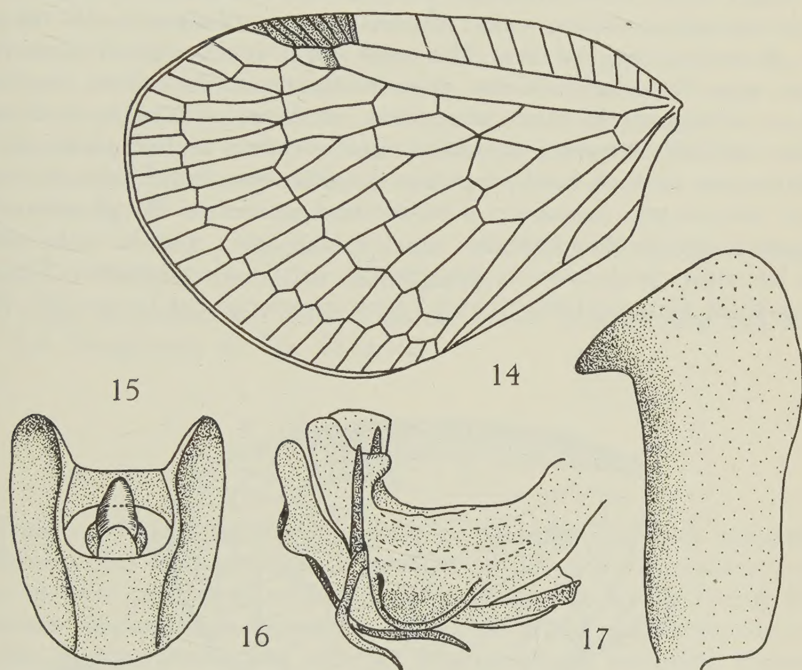


Fig. 14. — *Tarundia servillei* Spinola : élytre gauche, env. × 6;
Fig. 15. — *idem* : tube anal, vue dorsale, env. × 50;
Fig. 16. — *idem* : édéage, vue latéro-ventrale droite, env. × 50;
Fig. 17. — *idem* : paramère gauche, vue latérale, env. × 50.

4 exemplaires : Mauritius, Les Mares, 15-II-1943, J. Vinson.
Elytre, voir fig. 14. Genitalia ♂, voir fig. 15 à 17.

3. Tarundia mameti n. sp.

(Fig. 18 à 21.)

Front légèrement plus large (à sa largeur maxima), que long (40 : 35); bord antérieur (base), droit; bords latéraux, convexes vers le clypéus, carénés et relevés peu après le milieu; trois carènes, dont une médiane n'atteignant pas la suture clypéale et deux latérales, arquées, partant

du bord antérieur et effacées vers le milieu; ocre brunâtre. Clypéus non caréné. Vertex très court et large (longueur au milieu : 3 / largeur au bord antérieur, 35); bords antérieur très largement convexe, postérieur très profondément échancré en arc de cercle; bords latéraux subparallèles, à peine légèrement divergents vers l'arrière; ocre. Pronotum près de quatre fois aussi long que le vertex, à bord antérieur convexe et saillant vers l'avant, bord postérieur profondément échancré en angle; une carène médiane saillante et deux dépressions punctiformes sur le disque; ocre. Scutellum près de cinq fois aussi long que vertex et pronotum réunis, assez fortement convexe, avec trois carènes très nettes, dont une médiane atteignant la petite dépression située avant l'angle postérieur et deux latérales, arquées, écourtées vers le milieu, se rejoignant sur la médiane, peu après le bord postérieur du pronotum; brun clair, avec une bande transversale brun-noir entre le bord postérieur du pronotum et le sommet des carènes latérales, ainsi qu'une assez grande tache noire dans les angles scapulaires et deux petites sur l'angle postérieur. Elytres triangulaires, fortement élargis vers l'apex, plus longs que larges (60 : 45);

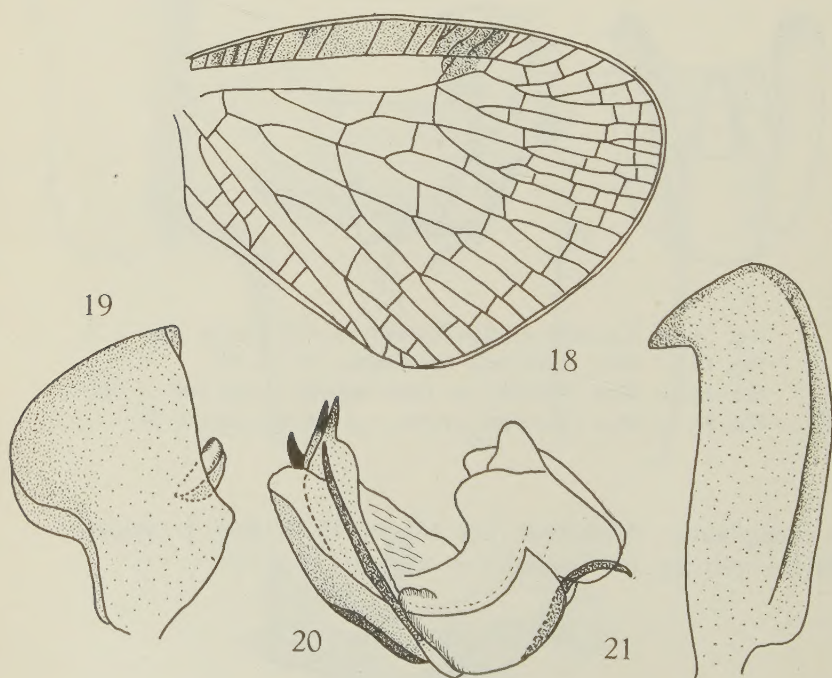


Fig. 18. — *Tarundia mameti* n. sp. : élytre droit, env. × 6;
Fig. 19. — *idem* : tube anal, vue latérale, env. × 50;
Fig. 20. — *idem* : édéage, vue latéro-ventrale droite, env. × 50;
Fig. 21. — *idem* : paramère gauche, vue latérale, env. × 50.

largeur au bord apical identique à la longueur de la suture clavale; bords costal et apical légèrement convexes, formant un angle apical beaucoup plus largement arrondi que le sutural; de la cellule basale partent trois troncs de nervures longitudinales, dont les deux premières bifurquent à même hauteur, non loin de la base et le troisième un peu avant le milieu du clavus; nervures clavales réunies vers le milieu du clavus; plusieurs nervures transversales sur le clavus, surtout entre Cl_1 et la suture. De nombreuses nervures transversales sur plus de la moitié apicale du corium, formant notamment une ligne subapicale irrégulière (voir fig. 18); quelques nervures transversales dans la cellule costale, plus rapprochées vers la base; hyalins, jaunâtres, avec quelques taches brunes sur la base de la cellule costale et sur le stigma. Ailes postérieures hyalines, à nervures brunes. Pattes ocre; tibias postérieurs armés de deux épines. Genitalia, voir fig. 19 à 21. Longueur totale, env. 7 mm.

Type. — 1 ♂, Mauritius, Petrin, 6-I-1950, R. MAMET (Institut royal des Sciences naturelles de Belgique).

Il s'agit du troisième *Tarundia* sp. cité par R. MAMET dans son travail sur les Hémiptères de l'île Maurice.

4. Tarundia clara n. sp.
(Fig. 22 à 25.)

Front et clypéus comme dans l'espèce précédente. Vertex proportionnellement plus long que chez *T. mameti* (6/32), à bord antérieur anguleux et bord postérieur profondément échancré en arc de cercle; bords latéraux subparallèles, fortement relevés, de même que l'antérieur et de ce fait, disque creusé, ocre; arête du bord antérieur, brun-noir. Pronotum près de deux fois aussi long que le vertex, à bord antérieur convexe et saillant vers l'avant, à bord postérieur très profondément échancré en angle; carène médiane et dépressions punctiformes nettes. Ocre; bord postérieur étroitement noir. Scutellum environ cinq fois aussi long que vertex et pronotum réunis, convexe, avec cinq carènes longitudinales, dont une médiane, écourtée vers l'angle postérieur, deux latérales, arquées, se rejoignant à la médiane et enfin, deux petits tronçons, subparallèles à la médiane, situés sur la moitié antérieure, à peu de distance des latérales et ne dépassant pas le milieu du scutellum; ocre, à carènes brunes. Elytres triangulaires; plus longs que larges (65 : 45), fortement élargis vers l'apex; largeur au bord apical égale la longueur de la suture clavale; bords costal et apical légèrement convexes, formant un angle apical beaucoup plus largement arrondi que le sutural; les trois troncs de nervures longitudinales bifurquent à peu près au même niveau, formant chacun un pédicelle plus long que chez l'espèce précédente; de nombreuses nervures transversales sur plus de la moitié apicale de l'élytre; quelques nervures (8 environ) transversales, espacées, dans la cellule costale; stigma formé par environ 6 cellules; quelques nervures transversales sur le clavus,

entre Cl_1 et la suture clavale; hyalins, jaunâtres; stigma brun. Ailes hyalines, à nervures brunes; angle sutural enfumé. Pattes ocre; tibias postérieurs armés de deux épines.

Génitalia ♂, voir fig. 23 à 25. Envergure : env. 21 mm.

Type. — 1 ♂, Mauritius (sans date ni localité précise). (Institut royal des Sciences naturelles de Belgique).

5. Tarundia sp.

Une ♀, sans dâte ni localité précise. Comme chez *mameti*, il y a quelques taches brunes sur la base de la cellule costale. De même, il y a une zone enfumée sur l'angle apical des ailes, comme c'est le cas pour *T. clara*. Le vertex est semblable à celui de *mameti*, c'est-à-dire, beaucoup plus large que long (35 : 3), à bord antérieur largement convexe.

Famille *FLATIDAE*.

Genre Ulundia Distant.

Distant, W. L., 1910, Insect. Transvaal, p. 250.
Mélichar, L., 1923, Genera Insect., fasc. 182, p. 73, *Chaetormenis*.

Ulundia madagascariensis Signoret.

Signoret, 1860, Ann. Soc. Ent. Fr. (3), VIII, p. 199 *(Elidiptera)*.

11 ex. : île d'Algaléga, V-1955, R. Mamet.

Cette espèce est décrite de Madagascar.

Famille *ISSIDAE*.

Genre Tylana Stål.

Stål, C., 1862, Rio Jan. Hemipt., II, p. 67.

1. Tylana carinata Fabricius.

Fabricius, J. C., 1803, Syst. Rhyng., p. 100, *Issus carinatus*.

1 ex.; Le Poua, 15-XI-1943, R. Mamet.

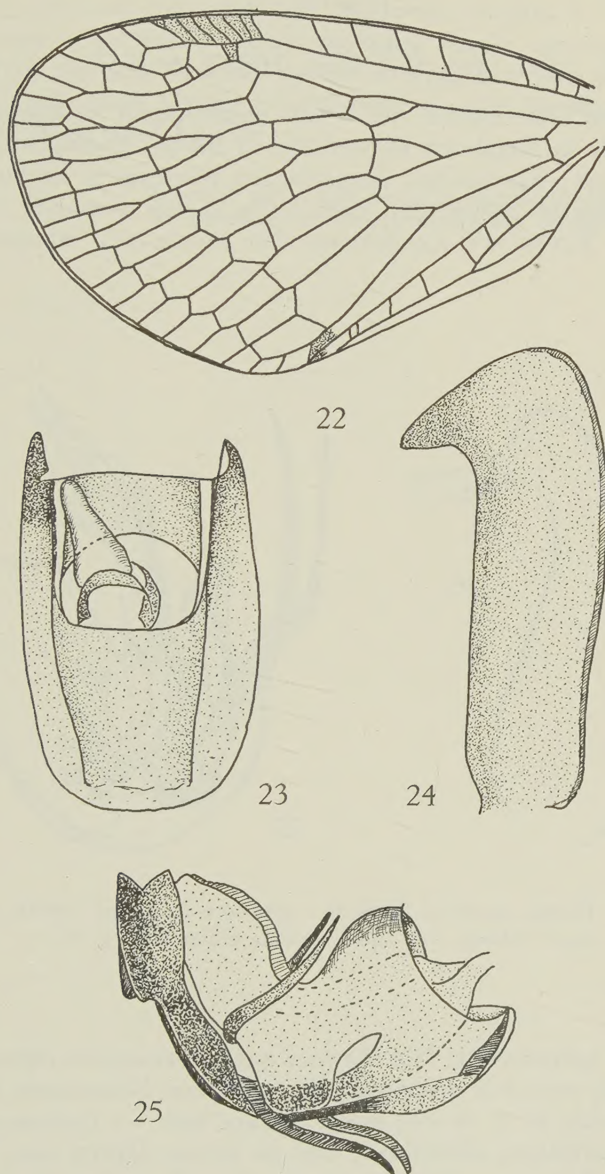


Fig. 22. — *Tarundia clara* n. sp. : élytre gauche, env. × 6;
Fig. 23. — *idem :* tube anal, vue dorsale, env. × 50;
Fig. 24. — *idem :* paramère gauche, vue latérale, env. × 50;
Fig. 25. — *idem :* édéage, vue latéro-ventrale droite, env. × 50.

2. Tylana conspersa Schmidt.

(Fig. 26, 27.)

Schmidt, E., 1910, Stett. Ent. Zeit., Heft I, p. 166.

Le type de cette espèce, qui devait normalement se trouver dans les collections de la Humboldt Universität zu Berlin, Zoologisches Museum (anciennement : Königlichen Zoologischen Museum in Berlin), doit être considéré comme perdu. En effet, suite à ma demande de prêt, le Dr. S. von Kéler m'a aimablement fait savoir qu'il manquait dans la collection.

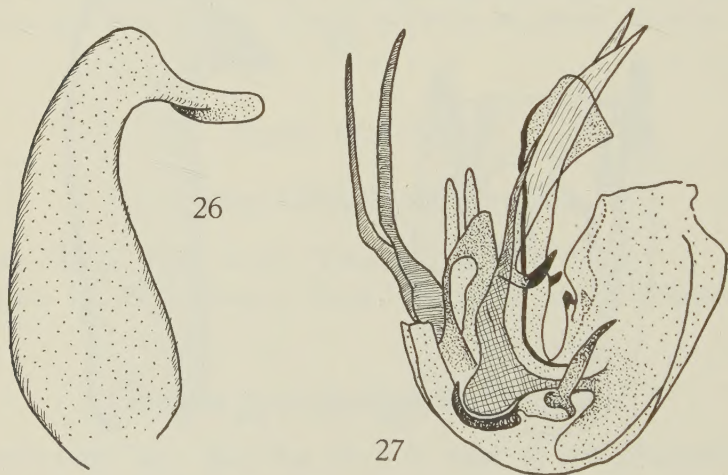


Fig. 26. — *Tylana conspersa* Schmidt : paramère droit, vue latérale, env. × 35; Fig. 27. — *idem* : édéage, vue latéro-ventrale droite, env. × 35.

Les deux spécimens de l'île Maurice que j'ai examinés répondent, à très peu de chose près, à la description de *conspersa*. Notamment la forme des paramères chez le ♂. A leur sujet, l'auteur écrit : « Gonapophysen nach hinten verschmälert, aufgebogen und im letzten Drittel zum Korper umgebogen und in einen Zahn auslaufend ». Ce qui semble bien correspondre à la figure 26. — Edéage, voir fig. 27.

Cependant, sur les exemplaires de l'île Maurice, certaines nervures transversales sont blanchâtres, notamment sur le clavus et vers le milieu du bord costal, où elles forment une assez grande tache claire.

2 ex., ♂ et ♀ : Mauritius : Petrin, 6-I-1950, R. Mamet.

Résumé.

L'auteur étudie une collection de Fulgoroïdes récoltés à l'île Maurice et décrit 6 espèces nouvelles : *Brixia williamsi*, *Brixia vacoasensis*, *Brixia wagneri*, *Brixia mameti*, *Tarundia mameti* et *Tarundia clara*. Les genitalia de *Tarundia marginata* Mélichar, *Tarundia servillei* Spinola et *Tylana conspersa* Schmidt sont figurés.

Institut royal des Sciences naturelles de Belgique
et Institut des Parcs Nationaux du Congo Belge.

AD. GOEMAERE, Imprimeur du Roi, 21, rue de la Limite, Bruxelles